

ME6203高输入电压线性稳压器

概述

ME6203 系列是以 CMOS 工艺制造的可高电压输入的线性稳压器。本系列的稳压器内置固定的参考电压源，误差修正电路及相位补偿电路，内置短路保护电路。输出电压是以内部反馈电阻设定，可设定在 1.8V~12V 之间，输出精度有 $\pm 1\%$ ($V_{OUT} = 3.3V$ 、 $5.0V$ 、 $10V$) 和 $\pm 2\%$ (其他电压值) 两种。

特点

- 最大工作电压：40V
- 输出电压范围：1.8V~12V(步长 0.1V)
- 高精度：
 $\pm 1\%$ ($V_{OUT} = 3.3V$ 、 $5.0V$ 、 $10V$)
 $\pm 2\%$ (其他电压值)
- 极低的静态电流(Typ. = $3\mu A$)
- 输入稳定性好：Typ. 0.1%/V
- 工作温度范围： $-40^{\circ}C \sim 85^{\circ}C$
- 短路保护限制电流：20mA
- 低的温度调整系数

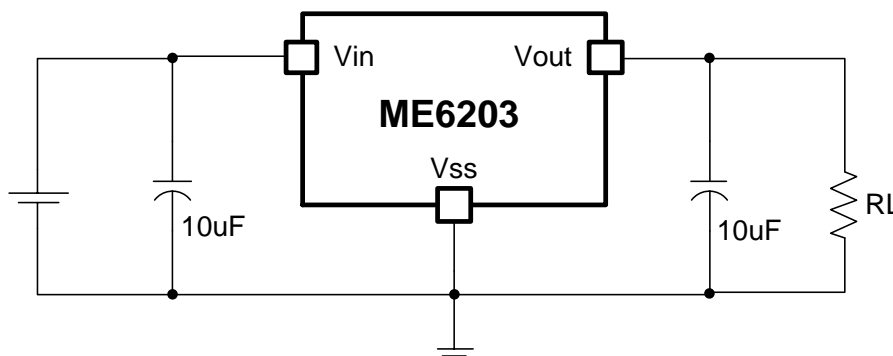
应用场合

- 电子锁
- 电子秤
- 参考电压
- 电池供电设备
- 报警系统供电

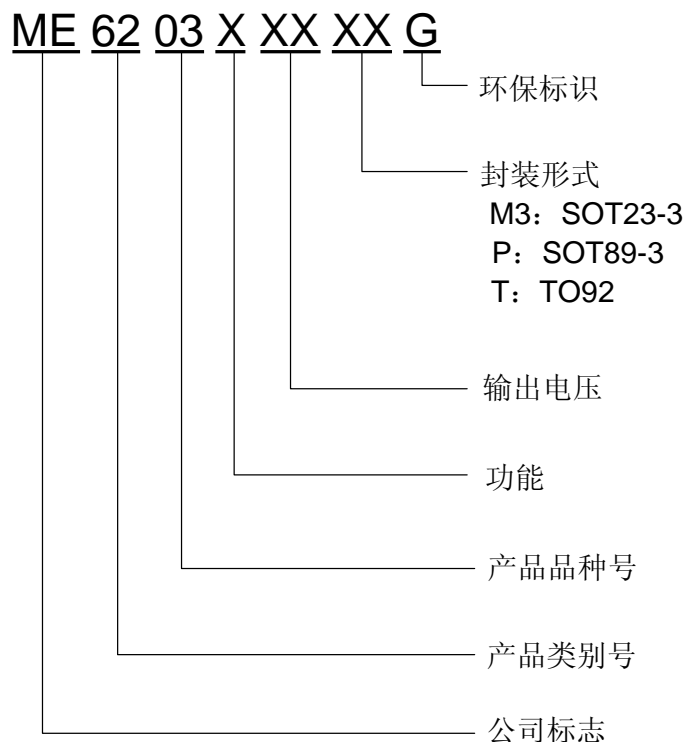
封装形式

- 3-pin SOT89-3、SOT23-3、TO92

典型应用图



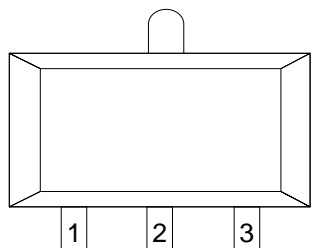
选购指南



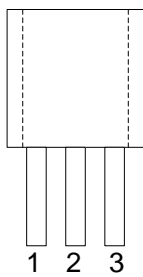
| 产品型号 | 产品说明 |
|---------------|---|
| ME6203A18M3G | $V_{OUT} = 1.8V \pm 2\%$; 封装形式: SOT23-3 |
| ME6203A18PG | $V_{OUT} = 1.8V \pm 2\%$; 封装形式: SOT89-3 |
| ME6203A25M3G | $V_{OUT} = 2.5V \pm 2\%$; 封装形式: SOT23-3 |
| ME6203A25PG | $V_{OUT} = 2.5V \pm 2\%$; 封装形式: SOT89-3 |
| ME6203A30M3G | $V_{OUT} = 3.0V \pm 2\%$; 封装形式: SOT23-3 |
| ME6203A30PG | $V_{OUT} = 3.0V \pm 2\%$; 封装形式: SOT89-3 |
| ME6203A33M3G | $V_{OUT} = 3.3V \pm 1\%$; 封装形式: SOT23-3 |
| ME6203A33PG | $V_{OUT} = 3.3V \pm 1\%$; 封装形式: SOT89-3 |
| ME6203A33TG | $V_{OUT} = 3.3V \pm 1\%$; 封装形式: TO92 |
| ME6203A36M3G | $V_{OUT} = 3.6V \pm 2\%$; 封装形式: SOT23-3 |
| ME6203A36PG | $V_{OUT} = 3.6V \pm 2\%$; 封装形式: SOT89-3 |
| ME6203A36TG | $V_{OUT} = 3.6V \pm 2\%$; 封装形式: TO92 |
| ME6203A44M3G | $V_{OUT} = 4.4V \pm 2\%$; 封装形式: SOT23-3 |
| ME6203A44PG | $V_{OUT} = 4.4V \pm 2\%$; 封装形式: SOT89-3 |
| ME6203A50M3G | $V_{OUT} = 5.0V \pm 1\%$; 封装形式: SOT23-3 |
| ME6203A50PG | $V_{OUT} = 5.0V \pm 1\%$; 封装形式: SOT89-3 |
| ME6203A50TG | $V_{OUT} = 5.0V \pm 1\%$; 封装形式: TO92 |
| ME6203A100M3G | $V_{OUT} = 10.0V \pm 1\%$; 封装形式: SOT23-3 |
| ME6203A100PG | $V_{OUT} = 10.0V \pm 1\%$; 封装形式: SOT89-3 |

注意: 如果您需要其他电压值和封装形式的产品, 请联系我司销售人员。

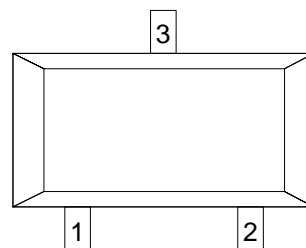
产品脚位图



SOT-89-3



TO-92

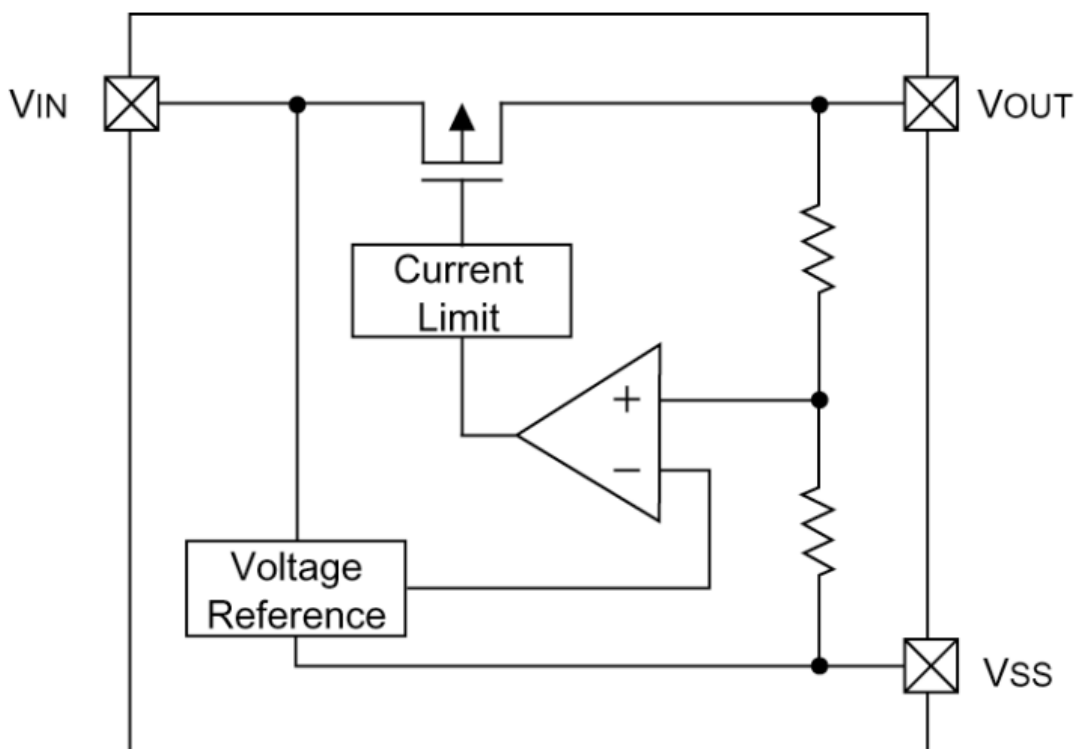


SOT23-3

脚位功能说明

| 引脚号 | | 符号 | 引脚描述 |
|----------------|---------|------------------|-------|
| SOT-89-3/ TO92 | SOT23-3 | | |
| 1 | 1 | V _{SS} | 接地引脚 |
| 2 | 3 | V _{IN} | 电压输入端 |
| 3 | 2 | V _{OUT} | 电压输出端 |

芯片功能示意图



绝对最大额定值

| 参数 | 符号 | 极限值 | 单位 |
|----------------------|---------------------|--|------|
| V _{IN} 脚电压 | V _{IN} | 40 | V |
| V _{OUT} 脚电流 | I _{OUT} | 150 | mA |
| V _{OUT} 脚电压 | V _{OUT} | V _{SS} -0.3 ~ V _{OUT} +0.3 | V |
| 允许最大功耗 | SOT23-3 | 0.54 | W |
| | SOT89-3 | 1.25 | |
| | TO92 | 0.83 | |
| 封装热阻 | SOT23-3 | 230 | °C/W |
| | SOT89-3 | 100 | |
| | TO92 | 150 | |
| 工作环境温度 | T _{OPR} | -40 ~ +85 | °C |
| 存贮温度 | T _{STG} | -55 ~ +150 | °C |
| 最大结温 | T _J | -40 ~ +150 | °C |
| 焊接温度和时间 | T _{solder} | 260°C, 10s | |

电气参数

ME6203A18 (V_{IN}=V_{OUT}+2.0V, C_{IN}=C_L=10uF, Ta=25°C, 除特别指定)

| 特性 | 符号 | 条件 | 最小值 | 典型值 | 最大值 | 单位 |
|--------------|---|---|--------|---------------------------------|--------|--------|
| 输出电压 | V _{OUT(E)} (Note 2) | I _{OUT} =10mA | X 0.98 | V _{OUT(T)} (Note 1) | X 1.02 | V |
| 输入电压 | V _{IN} | | 3.0 | - | 40 | V |
| 最大输出电流 | I _{OUT_max} | V _{IN} =V _{OUT} +3.7V | - | 100 | - | mA |
| 负载特性 | ΔV _{OUT} | V _{IN} =V _{OUT} +3.7V, 1mA≤I _{OUT} ≤100mA | - | 30 | 60 | mV |
| 压差(*3) | V _{DIF} | I _{OUT} =100mA | - | 3.7 | - | V |
| 静态电流 | I _{SS} | V _{IN} =V _{OUT} +2V | - | 2.0 | 4 | μA |
| 电源电压调整率 | $\frac{\Delta V_{OUT}}{\Delta V_{IN} \times V_{OUT}}$ | I _{OUT} =1mA V _{OUT} +1V≤V _{IN} ≤40V | - | 0.03 | 0.1 | %/V |
| 短路电流 | I _{SHORT} | V _{OUT} =V _{SS} | - | 20 | 40 | mA |
| 温度系数(Note 4) | $\frac{\Delta V_{OUT}}{V_{OUT} \times \Delta T_a}$ | I _{OUT} =10mA -40°C≤Ta≤85°C | - | 80 | - | ppm/°C |

ME6203A25 (V_{IN}=V_{OUT}+2.0V, C_{IN}=C_L=10uF, Ta=25°C, 除特别指定)

| 特性 | 符号 | 条件 | 最小值 | 典型值 | 最大值 | 单位 |
|---------|---|---|--------|---------------------------------|--------|-----|
| 输出电压 | V _{OUT(E)} (Note 2) | I _{OUT} =10mA | X 0.98 | V _{OUT(T)} (Note 1) | X 1.02 | V |
| 输入电压 | V _{IN} | | 3.0 | - | 40 | V |
| 最大输出电流 | I _{OUT_max} | V _{IN} =V _{OUT} +3.0V | - | 100 | - | mA |
| 负载特性 | ΔV _{OUT} | V _{IN} =V _{OUT} +3.0V, 1mA≤I _{OUT} ≤100mA | - | 32 | 60 | mV |
| 压差(*3) | V _{DIF} | I _{OUT} =100mA | - | 3.0 | - | V |
| 静态电流 | I _{SS} | V _{IN} =V _{OUT} +2V | - | 2.5 | 4 | μA |
| 电源电压调整率 | $\frac{\Delta V_{OUT}}{\Delta V_{IN} \times V_{OUT}}$ | I _{OUT} =1mA V _{OUT} +1V≤V _{IN} ≤40V | - | 0.02 | 0.1 | %/V |

| | | | | | | |
|--------------|---|---|---|----|----|------------------|
| 短路电流 | I_{SHORT} | $V_{OUT}=V_{SS}$ | - | 20 | 40 | mA |
| 温度系数(Note 4) | $\frac{\Delta V_{OUT}}{V_{OUT} \times \Delta Ta}$ | $I_{OUT}=10mA$ $-40^{\circ}C \leq Ta \leq 85^{\circ}C$ | - | 80 | - | ppm/ $^{\circ}C$ |

ME6203A30 ($V_{IN}=V_{OUT}+2.0V$, $C_{IN}=C_L=10\mu F$, $T_a=25^{\circ}C$, 除特别指定)

| 特性 | 符号 | 条件 | 最小值 | 典型值 | 最大值 | 单位 |
|--------------|---|---|--------|--------------------------|--------|------------------|
| 输出电压 | $V_{OUT(E)}$ (Note 2) | $I_{OUT}=10mA$ | X 0.98 | $V_{OUT(T)}$ (Note 1) | X 1.02 | V |
| 输入电压 | V_{IN} | | 3.0 | - | 40 | V |
| 最大输出电流 | I_{OUT_max} | $V_{IN}=V_{OUT}+2.5V$ | - | 100 | - | mA |
| 负载特性 | ΔV_{OUT} | $V_{IN}=V_{OUT}+2.5V$, $1mA \leq I_{OUT} \leq 100mA$ | - | 30 | 60 | mV |
| 压差(Note 3) | V_{DIF} | $I_{OUT}=10mA$ | - | 0.25 | - | V |
| | | $I_{OUT}=50mA$ | - | 1.2 | - | V |
| 静态电流 | I_{SS} | $V_{IN}=V_{OUT}+2V$ | - | 3 | 4 | μA |
| 电源电压调整率 | $\frac{\Delta V_{OUT}}{\Delta V_{IN} \times V_{OUT}}$ | $I_{OUT}=1mA$ $V_{OUT}+1V \leq V_{IN} \leq 40V$ | - | 0.02 | 0.1 | %/V |
| 短路电流 | I_{SHORT} | $V_{OUT}=V_{SS}$ | - | 20 | 40 | mA |
| 温度系数(Note 4) | $\frac{\Delta V_{OUT}}{V_{OUT} \times \Delta Ta}$ | $I_{OUT}=10mA$ $-40^{\circ}C \leq Ta \leq 85^{\circ}C$ | - | 80 | - | ppm/ $^{\circ}C$ |

ME6203A33 ($V_{IN}=V_{OUT}+2.0V$, $C_{IN}=C_L=10\mu F$, $T_a=25^{\circ}C$, 除特别指定)

| 特性 | 符号 | 条件 | 最小值 | 典型值 | 最大值 | 单位 |
|--------------|---|---|--------|----------------------|--------|------------------|
| 输出电压 | $V_{OUT(E)}$ (*2) | $I_{OUT}=10mA$, | X 0.99 | $V_{OUT(T)}$ (*1) | X 1.01 | V |
| 输入电压 | V_{IN} | - | 3.3 | - | 40 | V |
| 最大输出电流 | I_{OUT_max} | $V_{IN}=V_{OUT}+2.2V$ | - | 100 | - | mA |
| 负载特性 | ΔV_{OUT} | $V_{IN}=V_{OUT}+2.2V$, $1mA \leq I_{OUT} \leq 100mA$ | - | 30 | 60 | mV |
| 压差(Note 3) | V_{DIF} | $I_{OUT}=10mA$ | - | 0.22 | - | V |
| | | $I_{OUT}=50mA$ | - | 1.1 | - | V |
| 静态电流 | I_{SS} | $V_{IN}=V_{OUT}+2V$ | - | 3 | 4 | μA |
| 电源电压调整率 | $\frac{\Delta V_{OUT}}{\Delta V_{IN} \times V_{OUT}}$ | $I_{OUT}=1mA$ $V_{OUT}+1V \leq V_{IN} \leq 40V$ | - | 0.04 | 0.1 | %/V |
| 短路电流 | I_{SHORT} | $V_{OUT}=V_{SS}$ | - | 20 | 40 | mA |
| 温度系数(Note 4) | $\frac{\Delta V_{OUT}}{V_{OUT} \times \Delta Ta}$ | $I_{OUT}=10mA$ $-40^{\circ}C \leq Ta \leq 85^{\circ}C$ | - | 80 | - | ppm/ $^{\circ}C$ |

ME6203A36 ($V_{IN}=V_{OUT}+2.0V$, $C_{IN}=C_L=10\mu F$, $T_a=25^{\circ}C$, 除特别指定)

| 特性 | 符号 | 条件 | 最小值 | 典型值 | 最大值 | 单位 |
|--------|--------------------------|-------------------------|--------|--------------------------|--------|----|
| 输出电压 | $V_{OUT(E)}$ (Note 2) | $I_{OUT}=10mA$ | X 0.98 | $V_{OUT(T)}$ (Note 1) | X 1.02 | V |
| 输入电压 | V_{IN} | | 3.6 | - | 40 | V |
| 最大输出电流 | I_{OUT_max} | $V_{IN}=V_{OUT}+2.2V$ | - | 100 | - | mA |
| 负载特性 | ΔV_{OUT} | $V_{IN}=V_{OUT}+2.2V$, | - | 30 | 60 | mV |

| | | | | | | |
|--------------|---|---|---|------|-----|--------|
| | | 1mA≤I _{OUT} ≤100mA | | | | |
| 压差(Note 3) | V _{DIF} | I _{OUT} =10mA | - | 0.20 | - | V |
| | | I _{OUT} =50mA | - | 1.0 | - | V |
| 静态电流 | I _{SS} | V _{IN} = V _{OUT} +2V | - | 3 | 4 | μ A |
| 电源电压调整率 | $\frac{\Delta V_{OUT}}{\Delta V_{IN} \times V_{OUT}}$ | I _{OUT} =1mA V _{OUT} +1V ≤V _{IN} ≤40V | - | 0.02 | 0.1 | %/V |
| 短路电流 | I _{SHORT} | V _{OUT} =V _{SS} | - | 20 | 40 | mA |
| 温度系数(Note 4) | $\frac{\Delta V_{OUT}}{V_{OUT} \times \Delta Ta}$ | I _{OUT} =10mA -40°C≤Ta≤85°C | - | 80 | - | ppm/°C |

ME6203A44 (V_{IN}= V_{OUT}+2.0V, C_{IN}=C_L=10uF, Ta=25°C, 除特别指定)

| 特性 | 符号 | 条件 | 最小值 | 典型值 | 最大值 | 单位 |
|--------------|---|--|--------|----------------------------------|--------|--------|
| 输出电压 | V _{OUT} (E) (Note 2) | I _{OUT} =10mA | X 0.98 | V _{OUT} (T) (Note 1) | X 1.02 | V |
| 输入电压 | V _{IN} | | 4.4 | - | 40 | V |
| 最大输出电流 | I _{OUT_max} | V _{IN} = V _{OUT} +2.0V | - | 100 | - | mA |
| 负载特性 | ΔV _{OUT} | V _{IN} = V _{OUT} +2.0V, 1mA≤I _{OUT} ≤100mA | - | 31 | 60 | mV |
| 压差(Note 3) | V _{DIF} | I _{OUT} =10mA | - | 0.17 | - | V |
| | | I _{OUT} =50mA | - | 0.82 | - | V |
| 静态电流 | I _{SS} | V _{IN} = V _{OUT} +2V | - | 3 | 4 | μ A |
| 电源电压调整率 | $\frac{\Delta V_{OUT}}{\Delta V_{IN} \times V_{OUT}}$ | I _{OUT} =1mA V _{OUT} +1V ≤V _{IN} ≤40V | - | 0.02 | 0.1 | %/V |
| 短路电流 | I _{SHORT} | V _{OUT} =V _{SS} | - | 20 | 40 | mA |
| 温度系数(Note 4) | $\frac{\Delta V_{OUT}}{V_{OUT} \times \Delta Ta}$ | I _{OUT} =10mA -40°C≤Ta≤85°C | - | 80 | - | ppm/°C |

ME6203A50 (V_{IN}= V_{OUT}+2.0V, C_{IN}=C_L=10uF, Ta=25°C, 除特别指定)

| 特性 | 符号 | 条件 | 最小值 | 典型值 | 最大值 | 单位 |
|--------------|---|--|--------|----------------------------------|--------|--------|
| 输出电压 | V _{OUT} (E) (Note 2) | I _{OUT} =10mA | X 0.99 | V _{OUT} (T) (Note 1) | X 1.01 | V |
| 输入电压 | V _{IN} | | 5.0 | - | 40 | V |
| 最大输出电流 | I _{OUT_max} | V _{IN} = V _{OUT} +2.0V | - | 100 | - | mA |
| 负载特性 | ΔV _{OUT} | V _{IN} = V _{OUT} +2.0V, 1mA≤I _{OUT} ≤100mA | - | 33 | 60 | mV |
| 压差(Note 3) | V _{DIF} | I _{OUT} =10mA | - | 0.13 | - | V |
| | | I _{OUT} =50mA | - | 0.68 | - | V |
| 静态电流 | I _{SS} | V _{IN} = V _{OUT} +2V | - | 3.3 | 4.5 | μA |
| 电源电压调整率 | $\frac{\Delta V_{OUT}}{\Delta V_{IN} \times V_{OUT}}$ | I _{OUT} =1mA V _{OUT} +1V ≤V _{IN} ≤40V | - | 0.03 | 0.1 | %/V |
| 短路电流 | I _{SHORT} | V _{OUT} =V _{SS} | - | 25 | 40 | mA |
| 温度系数(Note 4) | $\frac{\Delta V_{OUT}}{V_{OUT} \times \Delta Ta}$ | I _{OUT} =10mA -40°C≤Ta≤85°C | - | 80 | - | ppm/°C |

ME6203A100 ($V_{IN} = V_{OUT} + 1.5V$, $C_{IN} = C_L = 10\mu F$, $T_a = 25^\circ C$, 除特别指定)

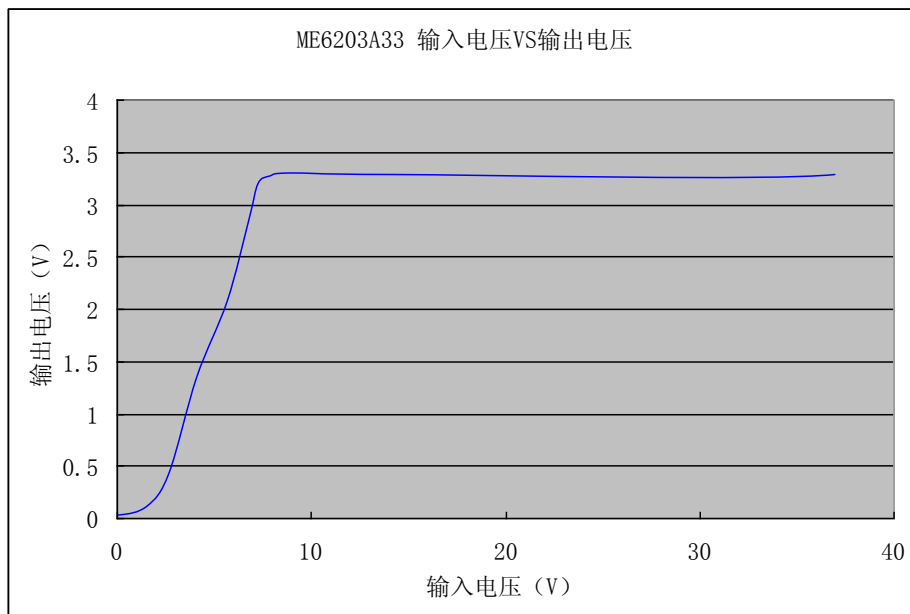
| 特性 | 符号 | 条件 | 最小值 | 典型值 | 最大值 | 单位 |
|--------------|---|--|--------|--------------------------|--------|-----------------|
| 输出电压 | $V_{OUT}(E)$ (Note 2) | $I_{OUT} = 10mA$ | X 0.99 | $V_{OUT}(T)$ (Note 1) | X 1.01 | V |
| 输入电压 | V_{IN} | | 10.0 | - | 40 | V |
| 最大输出电流 | I_{OUT_max} | $V_{IN} = V_{OUT} + 1.5V$ | - | 100 | - | mA |
| 负载特性 | ΔV_{OUT} | $V_{IN} = V_{OUT} + 1.5V$, $1mA \leq I_{OUT} \leq 100mA$ | - | 20 | 60 | mV |
| 压差(Note 3) | V_{DIF} | $I_{OUT} = 10mA$ | - | 0.09 | - | V |
| | | $I_{OUT} = 50mA$ | - | 0.45 | - | V |
| 静态电流 | I_{SS} | $V_{IN} = V_{OUT} + 1.5V$ | - | 5 | 7.5 | μA |
| 电源电压调整率 | $\frac{\Delta V_{OUT}}{\Delta V_{IN} \times V_{OUT}}$ | $I_{OUT} = 1mA$ $V_{OUT} + 1V \leq V_{IN} \leq 40V$ | - | 0.02 | 0.1 | %/V |
| 短路电流 | I_{SHORT} | $V_{OUT} = V_{SS}$ | - | 30 | 40 | mA |
| 温度系数(Note 4) | $\frac{\Delta V_{OUT}}{V_{OUT} \times \Delta T_a}$ | $I_{OUT} = 10mA$ $-40^\circ C \leq T_a \leq 85^\circ C$ | - | 80 | - | ppm/ $^\circ C$ |

注:

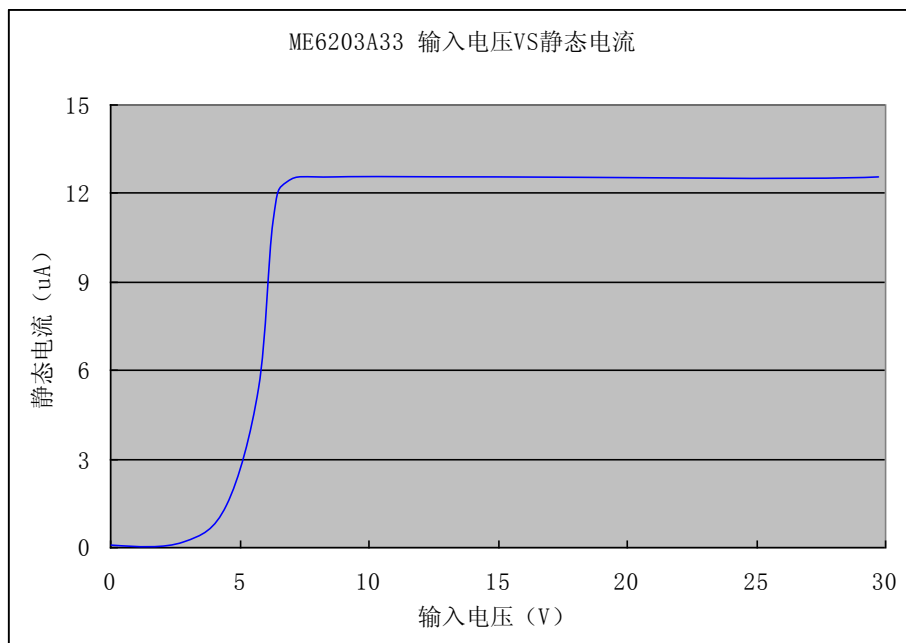
- $V_{OUT}(T)$: 设定的输出电压
- $V_{OUT}(E)$: 实际的输出电压 (即当 I_{OUT} 保持一定数值, $V_{IN} = 12V$) 时的输出电压
- $V_{DIF}: V_{IN1} - V_{OUT}(E)'$
 V_{IN1} : 逐渐减小输入电压, 当输出电压降为 $V_{OUT}(E)$ 的 98% 时的输入电压。
 $V_{OUT}(E)' = V_{OUT}(E) \times 98\%$
- 设计保证参数项。

典型性能参数

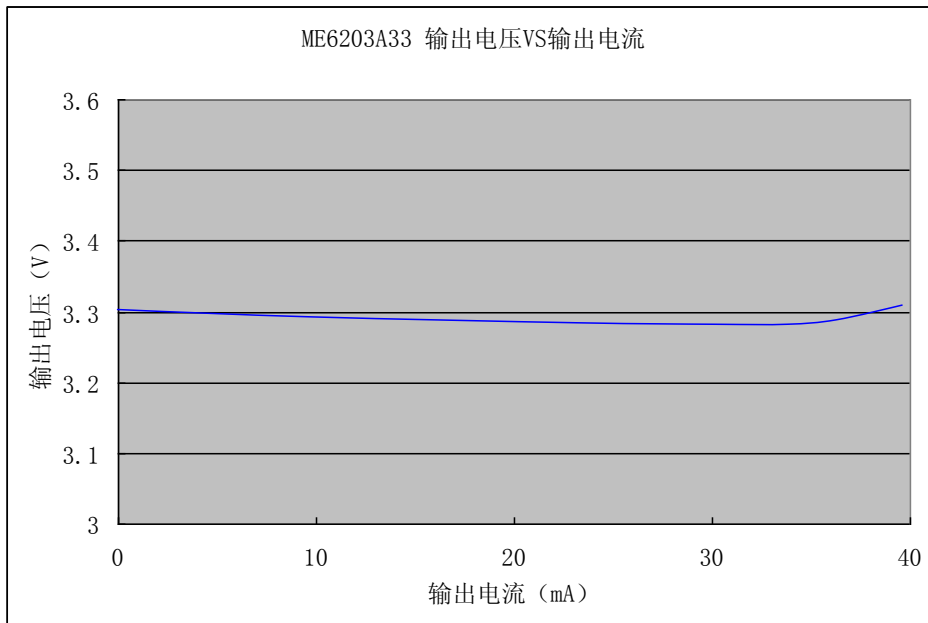
(1) 输入电压—输出电压: ($T_A=25^{\circ}\text{C}$)



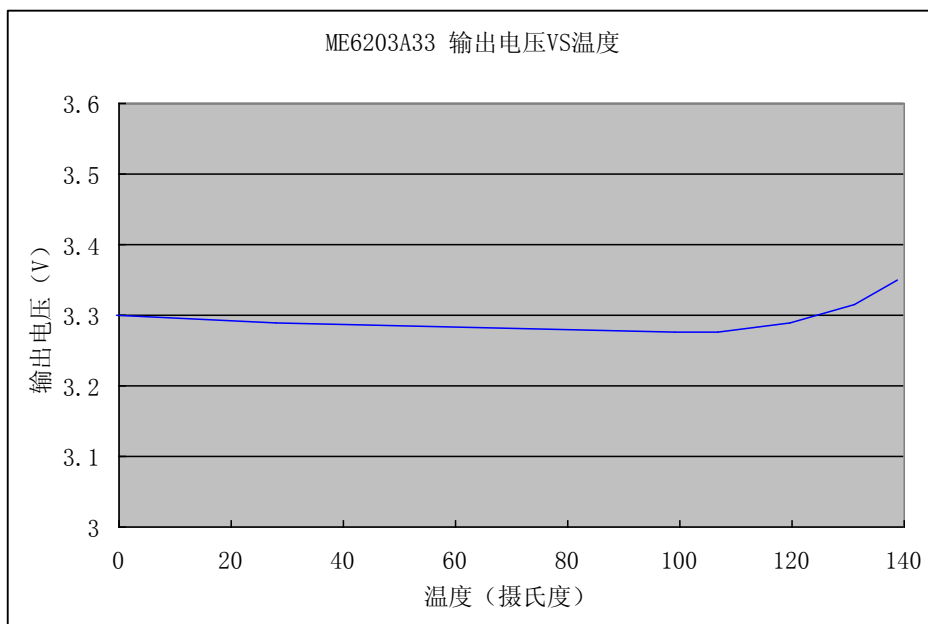
(2) 输入电压—静态电流: ($T_A=25^{\circ}\text{C}$)



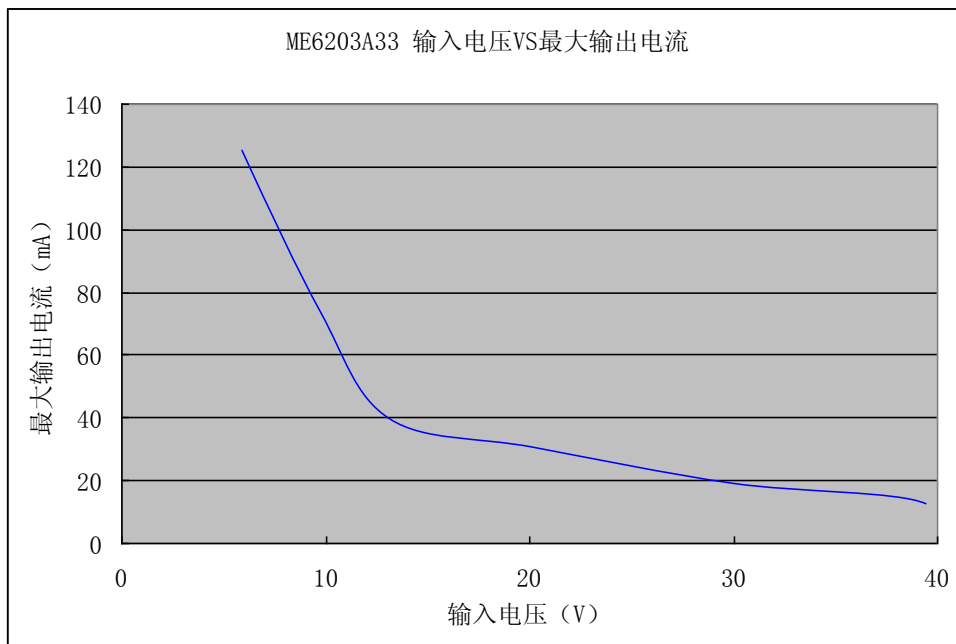
(3) 输出电压—输出电流: ($T_A=25^{\circ}\text{C}$)



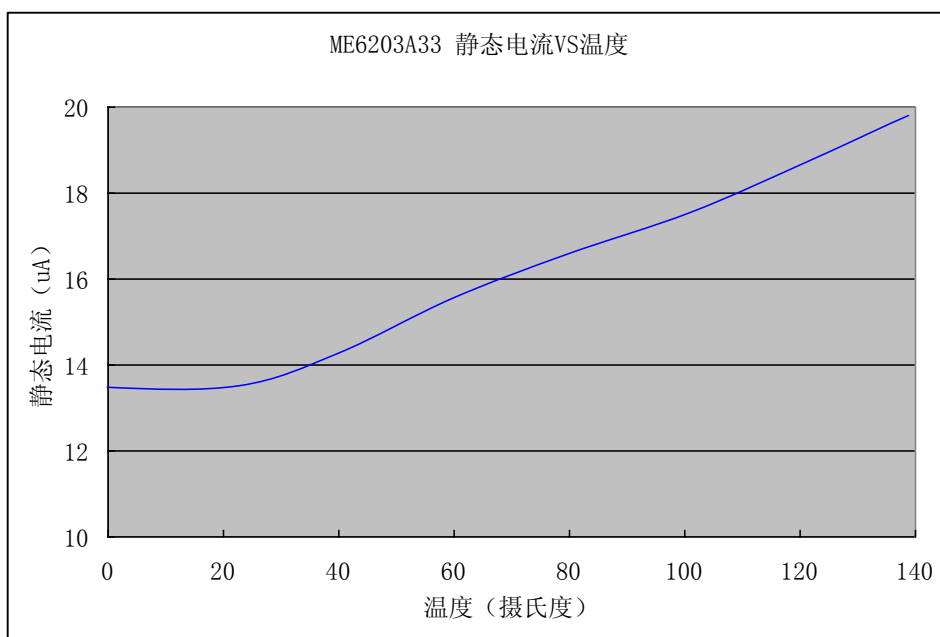
(4) 输出电压-温度:



(5) 输入电压—最大输出电流: ($T_A=25^{\circ}\text{C}$)



(6) 静态电流—温度: ($T_A=25^{\circ}\text{C}$)



(7) 启动时间: (CH1: $V_{IN}=18V$, CH2: $V_{OUT}=3.3V$, $T_A=25^{\circ}C$)



注:

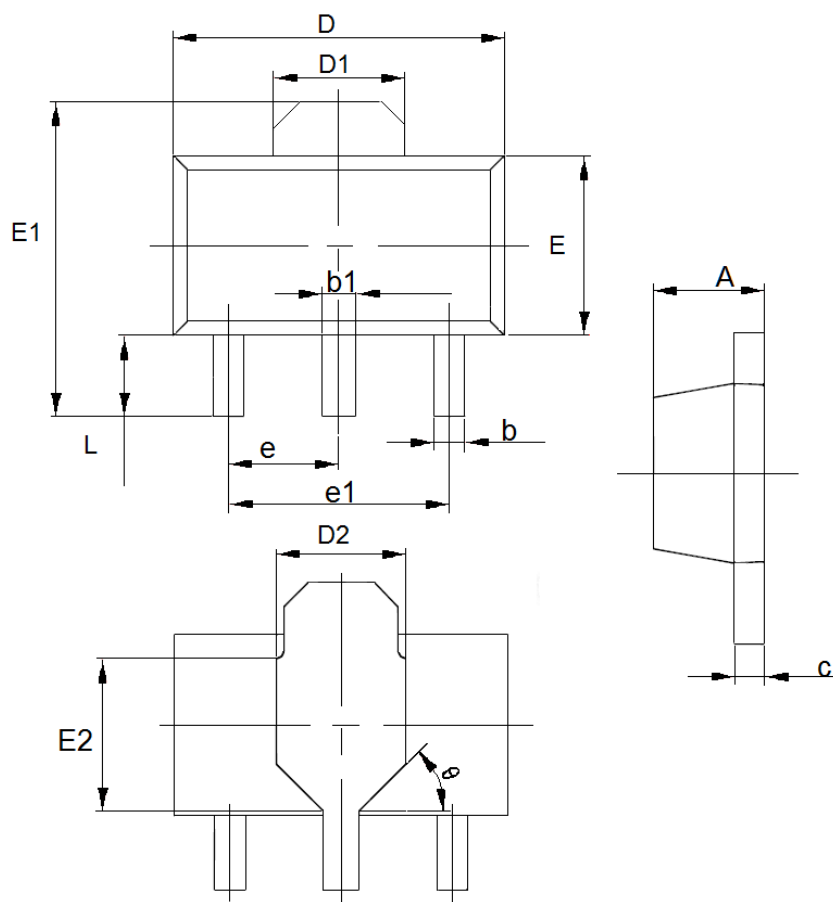
- 1.以上数据及图形是在实验室测得，具体的值还与实际使用情况相关。封装功耗和散热情况将影响芯片的带载能力和输出电压波动。
- 2.以上为ME6203A33的工作特性曲线，ME6203A30和ME6203A50的工作曲线与之近似，只是输出电压不同。

使用注意事项:

- 高压应用场合必须加 10uF 以上的输入电容，并且要靠近芯片的输入端。
- 本IC虽内置防静电保护电路（ESD人体模式2000V），但请不要对IC施加超过保护电路性能的过大静电。

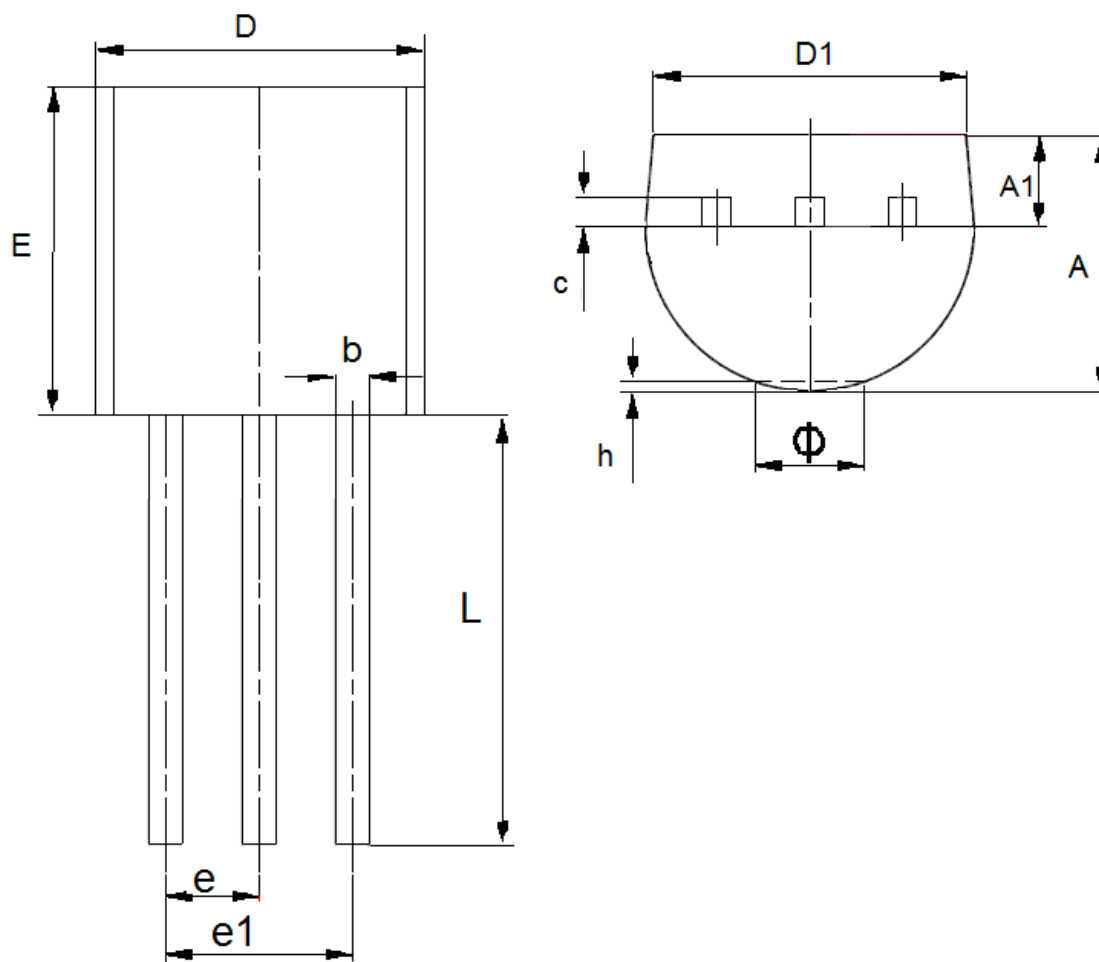
封装信息

- 封装类型: SOT89-3



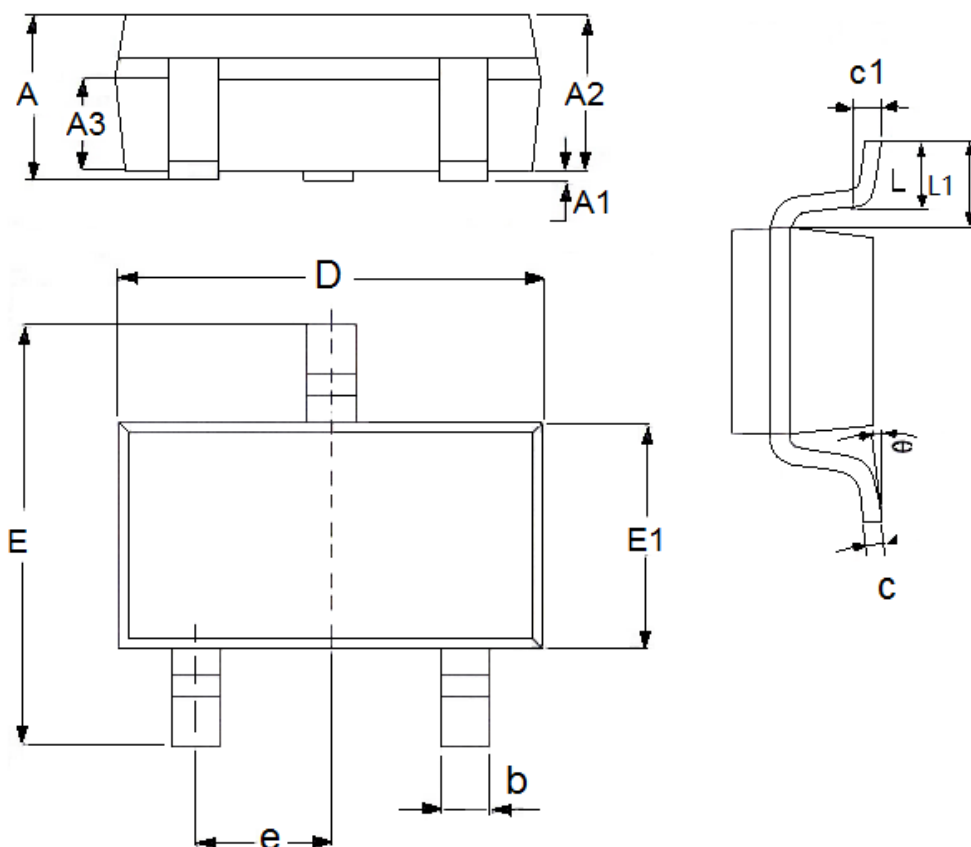
| 参数 | 尺寸 (mm) | | 尺寸 (Inch) | |
|----|-----------|------|-------------|--------|
| | 最小值 | 最大值 | 最小值 | 最大值 |
| A | 1.4 | 1.6 | 0.0551 | 0.0630 |
| b | 0.32 | 0.52 | 0.0126 | 0.0205 |
| b1 | 0.4 | 0.58 | 0.0157 | 0.0228 |
| c | 0.35 | 0.45 | 0.0138 | 0.0177 |
| D | 4.4 | 4.6 | 0.1732 | 0.1811 |
| D1 | 1.55(TYP) | | 0.061(TYP) | |
| D2 | 1.75(TYP) | | 0.0689(TYP) | |
| e1 | 3.0(TYP) | | 0.1181(TYP) | |
| E | 2.3 | 2.6 | 0.0906 | 0.1023 |
| E1 | 3.94 | 4.4 | 0.1551 | 0.1732 |
| E2 | 1.9(TYP) | | 0.0748(TYP) | |
| e | 1.5(TYP) | | 0.0591(TYP) | |
| L | 0.8 | 1.2 | 0.0315 | 0.0472 |
| θ | 45° | | 45° | |

● 封装类型: TO-92



| 参数 | 尺寸 (mm) | | 尺寸 (Inch) | |
|----|---------|------|-----------|--------|
| | 最小值 | 最大值 | 最小值 | 最大值 |
| A | 3.3 | 3.7 | 0.1299 | 0.1457 |
| A1 | 1.1 | 1.4 | 0.0433 | 0.0551 |
| b | 0.38 | 0.55 | 0.015 | 0.0217 |
| c | 0.36 | 0.51 | 0.0142 | 0.0201 |
| D | 4.3 | 4.7 | 0.1693 | 0.185 |
| D1 | 3.43 | — | 0.135 | — |
| E | 4.3 | 4.7 | 0.1693 | 0.185 |
| e | 1.27TYP | | 0.05TYP | |
| e1 | 2.44 | 2.64 | 0.0961 | 0.1039 |
| L | 14.1 | 14.5 | 0.5551 | 0.5709 |
| h | 0 | 0.38 | 0 | 0.015 |
| Φ | — | 1.6 | — | 0.063 |

● 封装类型: SOT23-3



| 参数 | 尺寸 (mm) | | 尺寸 (Inch) | |
|----|-----------|------|-------------|--------|
| | 最小值 | 最大值 | 最小值 | 最大值 |
| A | 1.05 | 1.45 | 0.0413 | 0.0571 |
| A1 | 0 | 0.15 | 0.0000 | 0.0059 |
| A2 | 0.9 | 1.3 | 0.0354 | 0.0512 |
| A3 | 0.6 | 0.7 | 0.0236 | 0.0276 |
| b | 0.25 | 0.5 | 0.0098 | 0.0197 |
| c | 0.1 | 0.25 | 0.0039 | 0.0098 |
| D | 2.8 | 3.1 | 0.1102 | 0.1220 |
| E | 2.6 | 3.1 | 0.1023 | 0.1220 |
| E1 | 1.5 | 1.8 | 0.0591 | 0.0709 |
| e | 0.95(TYP) | | 0.0374(TYP) | |
| L | 0.25 | 0.6 | 0.0098 | 0.0236 |
| L1 | 0.59(TYP) | | 0.0232(TYP) | |
| θ | 0 | 8° | 0.0000 | 8° |
| c1 | 0.2(TYP) | | 0.0079(TYP) | |

- 本资料内容，随产品的改进，会进行相应更新，恕不另行通知。使用本资料前请咨询我司销售人员，以保证本资料内容为最新版本。
- 本资料所记载的应用电路示例仅用作表示产品的代表性用途，并非是保证批量生产的设计。
- 请在本资料所记载的极限范围内使用本产品，因使用不当造成的损失，我司不承担其责任。
- 本资料所记载的产品，未经本公司书面许可，不得用于会对人体产生影响的器械或装置，包括但不限于：健康器械、医疗器械、防灾器械、燃料控制器械、车辆器械、航空器械及车载器械等。
- 尽管本公司一向致力于提高产品质量与可靠性，但是半导体产品本身有一定的概率发生故障或错误工作，为防止因此类事故而造成的人身伤害或财产损失，请在使用过程中充分留心备用设计、防火设计、防止错误动作设计等安全设计。
- 将本产品或者本资料出口海外时，应当遵守适用的进出口管制法律法规。
- 未经本公司许可，严禁以任何形式复制或转载本资料的部分或全部内容。